

水沢周辺における C A 観測

国土地理院 田 中 穂
国土地理院 水 野 浩 雄
国土地理院 安 藤 真 一
国土地理院 門 脇 俊 弘

1. はじめに

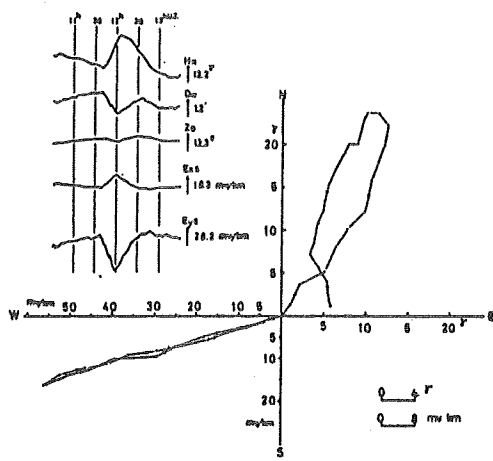
水沢周辺の C A 観測については、既に幾多の報告がなされており、その結果、短周期地磁気変化（～60分）から決められるパーキンソンベクトルはいずれも海洋効果のため東向きとなることが明らかにされている。^{(1), (2)}

しかしながら、北上川以西の水沢周辺の堆積層に関する地磁気の影響について、周波数領域がどの範囲までできているのかこれまで本格的に調査がなされていなかった。

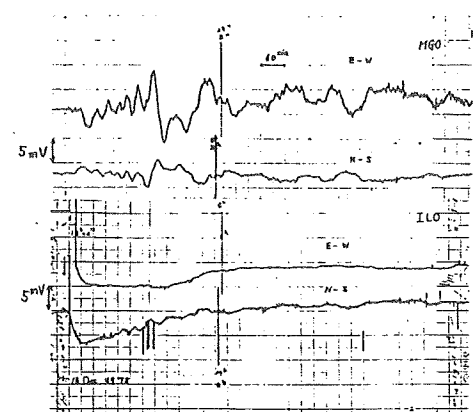
そこで今回、1978年12月～1979年1月にかけ、緯度観測所構内で、地電流・誘導磁力計の試験観測をしたのでその結果について報告する。また、C A の経年変化並びに1978年2月20日に発生した宮城県沖地震 ($\varphi = 38^\circ 45'N$, $\lambda = 142^\circ 12'E$, $D = 50km$, $M = 6.7$) 前後の C A 変化について簡単に報告する。

2. 地磁気地電流観測結果

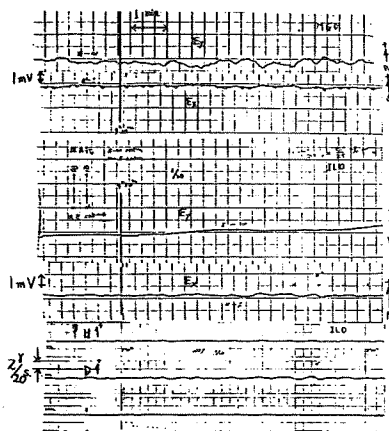
北上川以東の北上山地西縁にある水沢測地観測所における一般的な湾型変化の例として1978年2月3日 $11^h 37^m 5s \sim 13^h 00^m$ (U. T.) の地磁気・地電流の時間変化を第1図に示す。地電流がほぼ直線的に流れると dip のある地磁気は、北北東の長円面内で時間的に変化する。水沢周辺の電磁気変化は ΔZ が小さく、D, Z の両成分は H 成分と比べ peak の位相が若干早いのが特色である。ところが、北上川以西の堆積層上有る緯度観測所構内で1978年12月～1979年1月にかけ地電流、誘電磁力計 (H と D) の観測をしたが、12月18日の例を第2図に示す。上段は水沢測地観測所 (M G O) 東西・南北両成分、下段は緯度観測所 (I L O) 構内の東西・南北両成分である。 $18^h 00^m$ に硫酸銅液を補充したためドリフトが I L O 資料に見られる。両者の感度は同一にしてある。時間軸はそれぞれ東西・南北で同一にしてある。奇妙なことに1時間程度の I L O で東西電流が消失し、南北電流が若干見られる。更に数十秒の地電流脈動について示したものが第3図である。第2図と同様に1979年1月10日 $9^h 28^m \sim 37^m$ までの観測例で上段 M G O E_y , E_x 、中段 I L O E_y , E_x 、下段 I L O の induction \dot{H} , \dot{D} ,



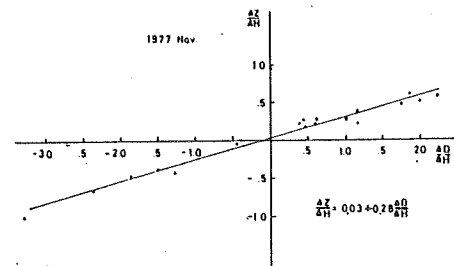
第1図 水沢測地観測所における湾型変化の例
(1978年2月3日
11^h37.5^m~13^h00^m(U.T.))



第2図 水沢測地観測所と緯度観測所における短周期地電流観測の例
(1978年12月18日 18^h00^m~)



第3図 水沢測地観測所と緯度観測所における地磁気地電流脈動の例
(1979年1月10日 9^h28^m~37^m)



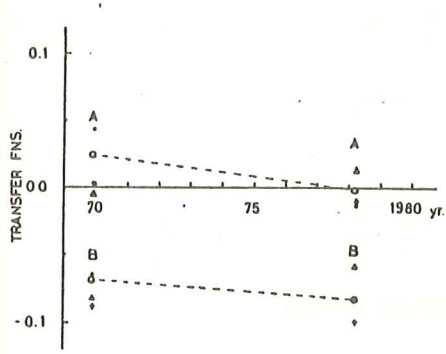
第4図 1977年11月のパーキンソンベクトル

である。 Z は観測しなかった。この図から数十秒に相当する電流がMGOでは主に東西 I LO では南北に流れ、induction の結果からもそのことが示される。しかし I LO の E_y に 3 分程度の電流成分があるらしい。

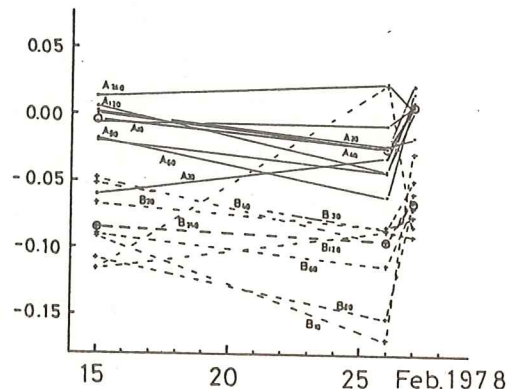
CAの経年変化を検出するため、1969年3月～11月の資料では $A = 0.11$, $B = 0.28$ ⁽³⁾ であったが今回同様の方法により AB を 1977 年 11 月で求めたところ第 4 図の如くなり $A = 0.03$, $B = 0.28$ であった。他方、電子計算機により 1969 年 11 月の資料を用いて計算したが、10分～240分の平均値で $\bar{A} = 0.024$, $\bar{B} = -0.068$ であった。1978 年 2 月の宮城県沖地震前後の地磁気変化を検出するため、2月 15 日, 26 日, 27 日の資料を同様に解析したところ $\bar{A} = 0.008$, $\bar{B} = -0.083$ であった。経年変化率に直すと

$$\bar{A} = -3.85 \times 10^{-3} / \text{yr}, \quad \bar{B} = -1.73 \times 10^{-3} / \text{yr}$$

でこれは柿岡、鹿野山の $\Delta Z / \Delta H$ の経年変化率とほぼ一致する結果と思われる(第 5 図)。



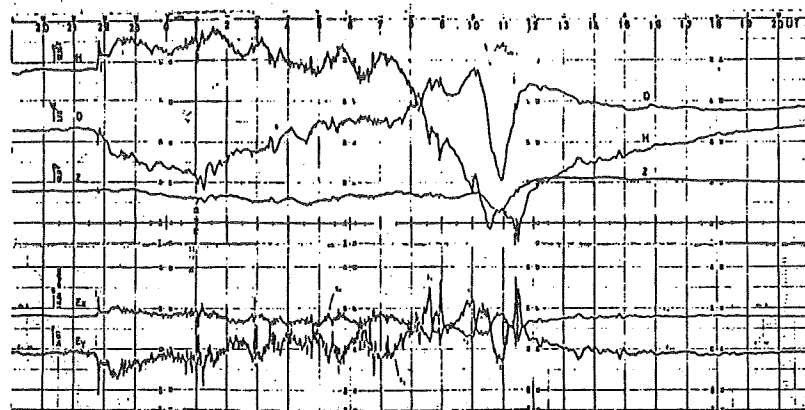
第 5 図 変換係数 A, B の経年変化



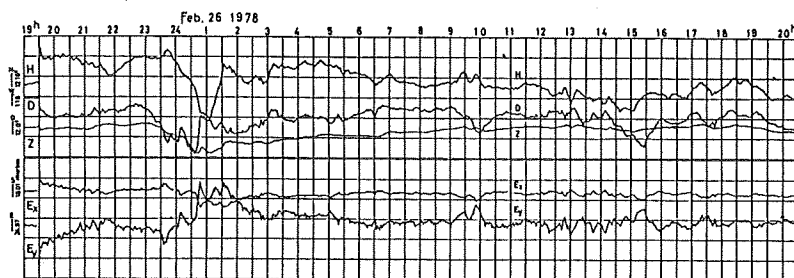
第 6 図 宮城県沖地震(1978年2月)
前後の A, B の周期別変化

しかし 1969 年 11 月の資料が一例なので、なお吟味が必要である。宮城県沖地震前後の 2 月 15 日, 26 日, 27 日の A, B の微細変化を示したのが第 6 図である。白丸が平均値で A B 横小文字数値は分単位の周期を示す。分解能力からみて 10 分は除いて考えると AB とも 60 ~ 80 分のところで変化が大きいが、係数値が小さいので誤差の範囲内かも知れない。

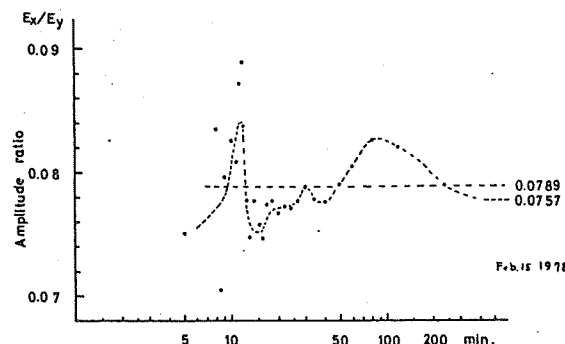
しかしこの事を確かめるため Magnetotellurics 法により 1978 年 2 月 15 日, 2 月 26 日の磁気嵐の資料(第 7 図, 第 8 図)を解析した。2 月 15 日の磁気嵐は規模は小さいが衝撃的に磁気境界面を叩いたような 5 ~ 10 分の短周期が卓越する磁気嵐であった。第 9 図はこの時の地電流 E_x / E_y の平均的振巾比を示し、 $\Delta E_y \gg \Delta E_x$ であることを示すが、第 10 図は 2 月 26 日の平均的振巾比で 15 日と比べ ΔE_y に相対的に ΔE_x が 3 倍程大きくなつたことを示す。



第7図 1978年2月15日の磁気嵐に伴う地磁気・地電流



第8図 1978年2月26日の磁気嵐に伴う地磁気・地電流

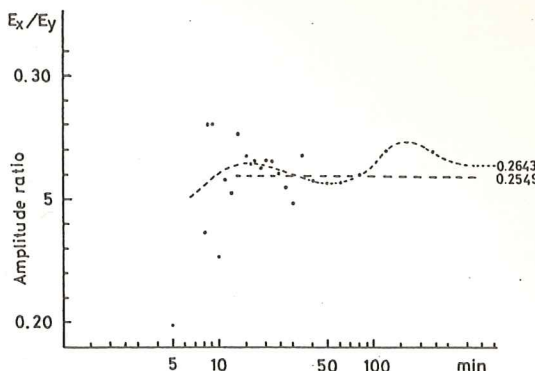


第9図 1978年2月15日の E_x/E_y の振巾比

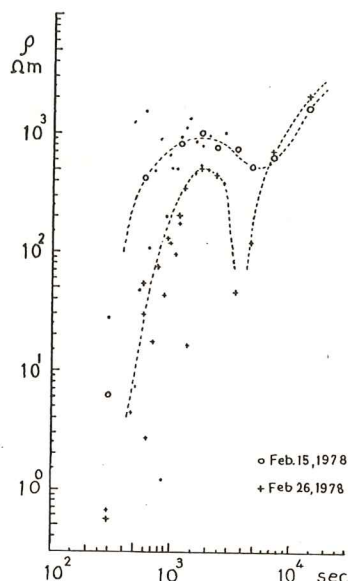
ている。各周期に応じた地下の電気伝導度から地表が受ける応答は第一近似的に一様構造を仮定すれば、多分一定となるであろう。特に 30 分以上の長い各周期について $\Delta E_x / \Delta E_y \approx \text{const.}$ という仮定が許されるならば、電気伝導度分布の第一近似的な傾向のみを得ることができる。このようにして求められた分布が第 11 図である。60 ~ 80 分の深さに対応する面のところで電気伝導度が地震後 1 桁よくなっていることがわかる。またこの時のプロトン全磁力日平均値の M_Z (水沢) - K_A (柿岡) を示したものが第 12 図で点線は $K - \text{index}$ で補正したものである。⁽⁵⁾ 地震直前の 2 月 15 日頃から高くなり、⁽⁶⁾ 28 日頃最も低い地域差になっており、3 月 10 日頃、旧に復した値になっている。6 月の宮城県沖地震については震源も遠かったのでこの資料からは意味のある変化は認め難いようである。

3. 討論並びに結論

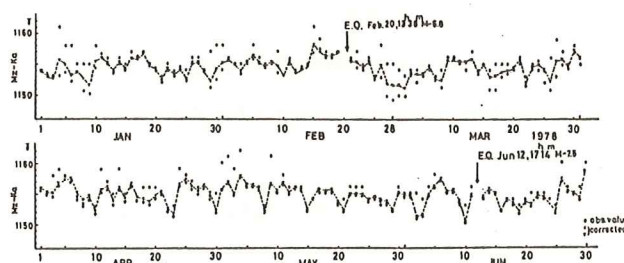
東北地方の電気的地下構造は、短周期地磁気変化 (~ 60 分) から決められた構造モデルと地磁気脈動を中心にして決められた構造モデル



第 10 図 1978 年 2 月 26 日
の E_x / E_y の振巾比



第 11 図 宮城県沖地震 (1978 年
2 月) 前後の電気伝導度変化



第 12 図 宮城県沖地震前後の水沢 - 柿岡のプロトン全磁力地域差

がある。第2, 3図に示す如く數十秒～1時間程度まで電流が堆積層、盛岡～白河構造線上で流れるということはこれらのモデルを決める際には大きな影響を与えるのではないかと思われる。

M G Oを中心とした地下電気伝導度分布は図11の傾向が得られているが、數十秒から得られた比抵抗は $\sim 10^3 \Omega \cdot m$ の程度であり、100～200秒付近で電気的構造のgapがあるらしいことがわかっている。またこの良導層を媒介として東西一南北の電流が相互作用を生じているのかも知れないが、たった2例だけなので、現在のところこれ以上何とも言えない。

次に変換関数で決めたA, Bの係数と実測で決めた係数と比べると計算で決めた係数の方が小さくなる。これはAZが殆んど0でありまた観測した波が磁気嵐等のため非線形になるので近似が悪くなるためなのかも知れない。

プロトン磁力計の日平均値の地域差からみた変動は、日変化、磁気嵐の影響を取り除く工夫が必要で、これについては後で報告する。水沢周辺のCA観測結果は、今回の試験観測からみてもまだ問題があり、特に堆積層上で地磁気地電流の観測を実施し、その電磁気的影響を再調査する必要があろうと思われる。

本報告をまとめるにあたり、東大震研本藏博士の考察したプログラムをもとに、東北工大瀬戸・早坂両氏に忙しいのにも拘らず、度重なる計算をして頂き、皆様に心から謝意を表します。

参 考 文 献

- (1) 濱戸孝夫, 田中穣, 田島稔, 水沢周辺のCA観測(Ⅱ), 日本におけるCA研究 1973 Jul. 5-6, 国土地理院, P 18~21.
- (2) Honkura Y., Electrical Conductivity Anomalies beneath the Japan Arc, J. G. G. 26, 147-171, 1974.
- (3) Seto T., M. Tanaka and M. Tazima, Observation of Magnetic variation near the Mizusawa Geodetic Observatory (I), Geodetic Soc. of Japan vol. 16, 34~39, 1970.
- (4) 久保木忠夫, 吉松隆三郎, 日本におけるCA研究, Jul. 5~6, 1973. 99~103, 国土地理院
- (5) 田中 穣, 太陽活動の準二年周期の検出, to be published

- (6) 加藤愛雄, 遠山文雄, 濱戸正弘, 早坂孝, 東北日本における C A, 日本における C A 研究,
22~30, Jul. 5~6, 1973, 国土地理院